

УДК 532.527+532.595.013.12

© 2002 г. А.В. КУЗНЕЦОВ, Н.В. НИКОЛАЕВА

### ОБТЕКАНИЕ ВИХРЯ ДВУХСЛОЙНЫМ ПОТОКОМ ТЯЖЕЛЫХ ЖИДКОСТЕЙ, РАЗДЕЛЕННЫМ ПОЛУБЕСКОНЕЧНОЙ ПЛАСТИНОЙ

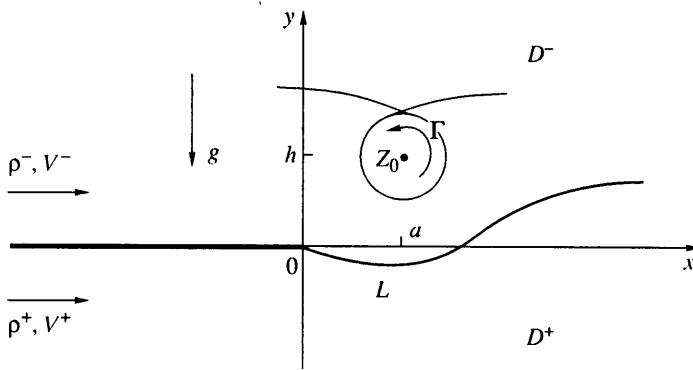
В линейном приближении решена задача обтекания вихря двухслойным потоком тяжелых невязких жидкостей с разными плотностями и скоростями на бесконечности при наличии полубесконечной пластины на границе раздела. Определены силы, действующие на вихрь и на пластину, форма границы раздела сред в зависимости от положения вихря, его интенсивности, числа Фруда, отношения плотностей и величин скоростей натекающих потоков.

Задачи о движении гидродинамических особенностей под поверхностью жидкости являются модельными задачами теории подводного крыла, основы которой были заложены М.В. Келдышем, Н.Е. Кочиным, М.А. Лаврентьевым, Л.И. Седовым, Л.Н. Сретенским и развиты их многочисленными последователями. Обобщением задач о течениях жидкости со свободными границами являются разнообразные задачи о взаимодействии потоков с разными полными давлениями. Ввиду большой трудности исследования таких течений в точной нелинейной постановке, широкое применение находят приближенные аналитические и численные методы. Обширный обзор литературы, посвященной линейной теории генерации поверхностных и внутренних волн на границе раздела сред, содержится в работе [1], а сведения о последних исследованиях по линейным и нелинейным задачам в [2, 3].

Задача о волнах на свободной поверхности жидкости, когда ее поверхность наполовину прикрыта плоской крышкой, впервые была рассмотрена в [4]. Результаты этой работы приведены в монографии [5], где рассмотрена также более общая задача о волнах на поверхности тяжелой жидкости в присутствии пластинки конечной длины, находящейся на поверхности жидкости. Для решения граничной задачи в линейной постановке используется метод Лапласа. В [6] решена задача о вдуве тонкой струи жидкости из щели в плоской стенке в равномерный поток другой жидкости с образованием за струей зоны постоянного давления. Для решения интегрального уравнения, к которому сводится краевая задача, применяется метод Винера–Хопфа. Этот метод использовался также в работах [7–9], в которых были рассмотрены стационарные и нестационарные задачи истечения тяжелой и капиллярной жидкости из-под полигонального щита.

Будем исследовать течение, схема которого изображена на фиг. 1. Ось  $x$  неподвижной системы координат  $x_0$  совпадает с границей раздела невозмущенных потоков. Вихрь интенсивности  $\Gamma$  расположен в точке  $z_0 = a + ih$  верхнего потока, параметры которого будем отмечать знаком минус, а нижнего знаком плюс;  $\rho^\pm$  и  $V^\pm$  – плотности и поступательные скорости потоков,  $g$  – ускорение силы тяжести,  $L$  – жидкая граница раздела. Возмущенные течения описываются комплексными потенциалами

$$W^\pm(z) = V^\pm z + w^\pm(z)$$



Фиг. 1. Схема течения

Предполагается, что интенсивность вихря и расстояние его от границы раздела сред таковы, что возмущения, вносимые вихрем, достаточно малы, и для определения потенциалов возмущений  $w^\pm(z) = \varphi^\pm(x, y) + i\psi^\pm(x, y)$  можно использовать приближение линейной теории, то есть линейризацию граничных условий и снос их на границу невозмущенного течения. Последнее означает, что краевая задача формулируется не для действительной области с частично неизвестной границей, а для расширенной области. В дополнительной области искомая функция является аналитическим продолжением за границу действительной области и, будучи регулярной там, удовлетворяет принципу максимума. Следовательно, при таких условиях применяемая в линейной теории замена действительной области фиктивной не приводит к нарушению точности линейного приближения.

Определение функций  $w^\pm(z)$  для рассматриваемой задачи сводится к решению граничной задачи для плоскости с краевыми условиями (1)–(4) на линии  $y = 0$

$$\psi^\pm(x) = 0, \quad y = \mp 0, \quad x < 0 \quad (1)$$

$$\beta \frac{\partial \varphi^+}{\partial x} - \gamma \frac{\partial \varphi^-}{\partial x} = \delta \eta(x), \quad \beta \frac{\partial \psi^-}{\partial x} = \frac{\partial \psi^+}{\partial x}, \quad x > 0 \quad (2)$$

$$\eta(x) = -\frac{1}{V^\pm} \psi^\pm(x), \quad x > 0 \quad (3)$$

$$\beta = \frac{V^+}{V^-}, \quad \gamma = \frac{\rho^-}{\rho^+}, \quad \text{Fr} = \frac{(V^-)^2}{gl}, \quad \delta = \frac{V^-(\gamma-1)}{l\text{Fr}}, \quad 0 \leq \gamma \leq 1 \quad (4)$$

Уравнение (1) выражает условие непротекания на пластинке, уравнения (2)–(3) – динамическое и кинематическое условия на жидкой границе раздела сред  $L$ , уравнение которой  $y = \eta(x)$ ;  $l$  – характерная длина.

Положим  $w^\pm = w_m^\pm + w_s^\pm$ , где  $w_m^\pm = \varphi_m^\pm + i\psi_m^\pm$  – потенциалы течений невесомых жидкостей, вызванных вихрем в точке  $z_0$ , а  $w_s^\pm = \varphi_s^\pm + i\psi_s^\pm$  – добавочные регулярные слагаемые, обусловленные влиянием силы тяжести. Соответствующие граничные условия для  $w_m^\pm(z)$  записываются формулами (1)–(2), в которых  $\delta = 0$ .

Введем функции  $w_0^\pm(z) = \varphi_0^\pm + i\psi_0^\pm$ , регулярные в областях  $D^\pm$ , такие что

$$w_0^+(z) = w_m^+(z), \quad w_0^-(z) = w_m^-(z) - \frac{\Gamma}{2\pi i} \ln(z - z_0)$$

Для определения производных  $dw_0^\pm/dz$  можно использовать их представление либо по формуле Шварца, восстанавливающей аналитическую в полуплоскости функцию по граничному значению ее действительной или мнимой части, либо формулой Келдыша–Седова, дающей решение смешанной краевой задачи. В последнем случае используется представление в классе функций, ограниченных в точке  $z = 0$ .

Исходя из этих формул, найдем

$$\frac{\partial \Psi_0^\pm}{\partial x} = \pm A \frac{\partial \Phi_0^\pm}{\partial x} + Q^\pm(x), \quad x > 0$$

$$Q^\pm(x) = -\frac{\sqrt{x}}{\pi} \int_{-\infty}^0 \frac{\partial \Psi_0^\pm / \partial t}{\sqrt{-t(t-x)}} dt, \quad Au = \frac{\sqrt{x}}{\pi} \int_0^\infty \frac{u(t) dt}{\sqrt{t(t-x)}}$$

Здесь  $A$  – сингулярный оператор, имеющий обратный оператор

$$Bu = -\frac{1}{\pi} \int_0^\infty \frac{u(t) dt}{t-x}, \quad x > 0$$

такой, что если  $Au = f(x)$ , то  $u(x) = Bf + b$ , где  $b$  – произвольная постоянная. Используя эти формулы, можно найти граничные значения искомых функций на всей оси и функции целиком в соответствующих областях. В результате получим

$$\left( \frac{dw_m^-}{dz}, \frac{dw_m^+}{dz} \right) = \frac{\Gamma}{4\pi i} (1, k_2) \left[ (1 - k_1, 1) \left( \frac{1}{z - z_0} - \frac{1}{z - \bar{z}_0} \right) + \right. \\ \left. + \sqrt{z} (1 + k_1, 1) \left( \frac{1}{(z - z_0)\sqrt{z_0}} + \frac{1}{(z - \bar{z}_0)\sqrt{\bar{z}_0}} \right) \right], \quad z \in \begin{pmatrix} D^- \\ D^+ \end{pmatrix} \quad (5)$$

$$k_1 = \frac{\gamma - \beta^2}{\gamma + \beta^2}, \quad k_2 = (1 + k_1)\beta, \quad \bar{z}_0 = a - ih$$

Коэффициент  $k_1$  изменяется в пределах от  $-1$  ( $\gamma \rightarrow 0$  (твердая стенка) или  $\beta \rightarrow \infty$ ) до  $1$  ( $\gamma \rightarrow \infty$  (линия  $L$  – свободная граница с постоянным давлением на ней) или  $\beta \rightarrow 0$ ). В случае однородного потока ( $\beta = 1, \gamma = 1$ ) формулы (5) совпадают друг с другом и дают точное решение нелинейной задачи о течении от вихря вблизи кромки полубесконечной пластины [10].

Формулы (5) получены при условии  $dw_m^\pm/dz(\infty) = 0$ . При этом

$$\frac{dw_m^\pm}{dz}(0) = \begin{pmatrix} k_2 \\ 1 - k_1 \end{pmatrix} \frac{\Gamma h}{2\pi(a^2 + h^2)}$$

Граничные условия для определения функции  $w_s^\pm(z)$  записываются, очевидно, теми же формулами (1)–(3), в которых теперь под  $\Phi^\pm$  и  $\Psi^\pm$  следует подразумевать  $\Phi_s^\pm$  и  $\Psi_s^\pm$ . В этом смысле и будем ссылаться в дальнейшем на эти и другие формулы.

По формуле Шварца имеем

$$\frac{dw_s^\pm}{dz} = \mp \frac{1}{\pi} \int_0^\infty \frac{\partial \Psi_s^\pm}{\partial t} \frac{dt}{t-z} + \frac{\partial \Phi_s^\pm}{\partial x}(-\infty), \quad z \in (D^+, D^-) \quad (6)$$

Отсюда

$$\frac{\partial \Psi_s^\pm}{\partial x}(x) = \pm A \frac{\partial \Phi_s^\pm}{\partial x}(x), \quad x > 0$$

Тогда из (3) получим соотношение

$$\frac{\partial \varphi_s^+}{\partial x} + \beta \frac{\partial \varphi_s^-}{\partial x} = b$$

с помощью которого найдем из (2)  $\eta(x)$ , а из (4) и (7) – выражение для  $\partial \Psi_s^+ / \partial x$

$$\eta(x) = \frac{1}{\beta \delta} [(\beta^2 + \gamma)r(x) - b\gamma] \quad (7)$$

$$\frac{\partial \Psi_s^+}{\partial x} = v \frac{dr}{dx} - \frac{\partial \Psi_m^+}{\partial x}; \quad r(x) = \frac{\partial \varphi_s^+}{\partial x}, \quad v = \frac{\text{Fr} l(\beta^2 + \gamma)}{1 - \gamma} \quad (8)$$

Используя (8), получим из (6) интегро-дифференциальное уравнение относительно  $r(x)$ :

$$r(x) = vBr'(x) + f(x) + r(-\infty), \quad f(x) = -\frac{\Gamma k_2}{2\pi} \frac{h}{(x-a)^2 + h^2} \quad (9)$$

Воспользуемся общим решением уравнения типа (9), полученным в [7] методом Винера–Хопфа [11]. Применяя двухстороннее преобразование Фурье, сведем уравнение к задаче Римана для плоскости  $\alpha = \xi + i\tau$  с условием на вещественной оси в виде

$$(1 - v|\alpha|)R^+(\alpha) + R^-(\alpha) = F^+(\alpha) - \frac{r(-\infty)}{i\alpha} (1 - v_1|\alpha|) \quad (10)$$

$$(R^+(\alpha), F^+(\alpha)) = \int_0^{\infty} (r(x), f(x))e^{i\alpha x} dx$$

$$R^-(\alpha) = \int_{-\infty}^{\infty} r_1(x)e^{i\alpha x} dx$$

$$r_1(x) = r(x) - f(x) \quad (x < 0), \quad v_1 = \frac{vr(0)}{r(-\infty)}$$

Здесь значки + и – указывают на аналитичность функции соответственно в верхней или нижней полуплоскости.

Граничное условие (10) содержит постоянные  $r(-\infty)$  и  $r(0)$ , которые дают нетривиальное решение однородной (при  $f(x) = 0$ ) задачи и приводят к дополнительным возмущениям потоков, не нарушающим граничные условия. Задание  $r(-\infty)$  может, очевидно, быть включено в постановку задачи, а значение  $r(0)$  остается неопределенным. Однако из уравнения (10) видно, что при  $r(0) = r(-\infty)$  дополнительные возмущения сводятся к наложению на весь поток однородного поступательного течения. Поэтому, ограничиваясь в дальнейшем этим случаем, будем считать  $r(0) = r(-\infty) = 0$ . Тогда решение уравнения (9) может быть представлено формулой

$$r(x) = \frac{1}{2\pi} \int_{-\infty}^{\infty} e^{-i\xi x} \frac{G^+(\xi)}{K^+(\xi)} d\xi \quad (11)$$

в которой  $G^+(\xi)$  – предельное значение функции при  $\alpha = \xi + i0$

$$G^+(\alpha) = \frac{1}{2\pi i} \int_{-\infty}^{\infty} \frac{F^+(t)dt}{K_1^-(t)(t-\alpha)} \quad (12)$$

$$K^+(\xi) = (1 - v^2\xi^2)K_1^+(\xi), \quad K_1^{\pm}(\xi) = \frac{1}{\sqrt{|1 + v|\xi|}} e^{\mp J(\xi)}$$

$$J(\xi) = \frac{1}{\pi i} \int_0^{v\xi} \frac{\ln u du}{u^2 - 1}$$

Примем далее  $h, \rho^-, V^-$  за характерные значения длины, плотности и скорости. Записав функцию  $f(x)$  в безразмерном виде, найдем

$$F^+(\xi) = -\frac{\Gamma k_2}{2\pi} e^{i a \xi} \left( \pi e^{-|\xi|} - \int_a^\infty \frac{e^{-\xi t}}{t^2 + 1} dt \right)$$

Дальнейшие преобразования связаны с приведением интеграла (11) и подынтегральных функций в (11) к виду, удобному для вычисления и выделения в явном аналитическом виде слагаемых, описывающих асимптотическое поведение функции  $r(x)$  при  $x \rightarrow \infty$ .

Введем функцию  $g(\alpha) = \sqrt{\alpha^2 + k^2}$ ,  $k > 0$ , которая является регулярной в плоскости  $\alpha$ , если провести разрез по мнимой оси от точки  $ik$  до  $i\infty$  и от  $-i\infty$  до  $-ik$ . Тогда  $\lim g(\alpha) = |\alpha|$  при  $\alpha = \xi + i0$  и  $k \rightarrow 0$ .

Деформируя контур интегрирования в (12) так, чтобы он охватывал мнимую положительную полуось, и переходя к пределу при  $\alpha \rightarrow \xi$ , получим

$$G^+(\xi) = G_1(\xi) + G_2(\xi), \quad G_1(\xi) = F^+(\xi) K_1^+(\xi) (1 + v |\xi|) \quad (13)$$

$$G_2(\xi) = \frac{v}{\pi} \int_0^\infty F^+(it) K_1^+(it) \frac{t dt}{t + i\xi}$$

В соответствии с разложением (13) представим  $r(x)$  в виде суммы  $r(x) = r_1(x) + r_2(x)$  и, применяя контурное интегрирование в (11), найдем

$$r_1(x) = -\frac{\Gamma k_2}{2\pi} \mu [2\pi e^{-\mu} \sin(\mu x_1) U(x_1) - J_2(x_1) - 2J_3(x_1) + J_4(x_1)] \quad (14)$$

$$J_2(x) = \int_0^\infty e^{-|x|t} \frac{t \cos t - \mu \sin t}{t^2 + \mu^2} dt, \quad J_3(x) = \int_a^\infty \frac{\sin(\mu(t+x))}{t^2 + 1} dt$$

$$J_4(x) = \frac{1}{\pi} \int_a^\infty \int_0^\infty \frac{te^{-(\tau+x)t}}{(\mu^2 + t^2)(\tau^2 + 1)} dt d\tau$$

$$r_2(x) = r_{2as}(x) + r_{2cont}(x), \quad \mu = 1/v, \quad x_1 = x - a$$

$$r_{2as}(x) = \frac{\sqrt{2}v}{\pi} \left( A_1 \cos\left(\frac{\pi}{8} + \mu x\right) + v A_2 \sin\left(\frac{\pi}{8} + \mu x\right) \right)$$

$$A_k = \int_0^\infty \frac{t^k F^+(it) e^{J_1(t)}}{(1 + v^2 t^2)^{5/4}} dt, \quad k = 1, 2$$

$$r_{2cont}(x) = -\frac{\mu}{\pi} \int_0^\infty \frac{\tau R(\tau)}{(\mu^2 + \tau^2)^{5/4}} e^{J_1(\tau) - x\tau} d\tau$$

$$R(\tau) = \frac{1}{\pi} \int_0^\infty \frac{t F^+(it)}{(\mu^2 + t^2)^{1/4} (t + \tau)} e^{J_1(t)} dt, \quad J_1(t) = \frac{1}{\pi} \int_0^v \frac{\ln s}{s^2 + 1} ds$$

Здесь  $U(x)$  – единичная функция.

Так как при  $a \rightarrow \infty$   $F^+(it) = 0$ , то  $G_2(\xi) = 0$  и, следовательно,  $r_2(x) = 0$ . Таким образом, в этом случае  $r(x) = r_1(x)$  и определяется по формуле (14), в которой  $J_3(x_1) = J_4(x_1) = 0$ . При  $\beta = 1$  она совпадает с соответствующей формулой из работы [12], в которой решена задача о движении вихря в двухслойной тяжелой жидкости.

Уравнение линии раздела сред (7) в безразмерных переменных примет вид

$$\eta(x) = -\frac{v}{\beta} r(x), \quad x > 0$$

Заметим, что значения  $r(x)$  и  $\eta(x)$  прямо пропорциональны величине циркуляции  $\Gamma$ .

Уравнение линии раздела сред для случая невесомых жидкостей можно определить из (4), если воспользоваться уравнениями (5). При этом

$$\eta(x) = -\frac{\Gamma(1+k_1)\sqrt{q+a}}{2\sqrt{2}\pi q} \int_0^x \frac{\sqrt{t(2a-q-t)}}{1+(t-a)^2} dt \quad (q = \sqrt{1+a^2})$$

Сопротивление  $X$  и подъемная сила  $Y$  вихря вычисляются по формуле Чаплыгина

$$R = Y + iX = -\frac{\rho^-}{2} \oint \left( \frac{dW^-}{dz} \right)^2 dz = -i\pi\rho^- \operatorname{Res}_{z=z_0} \left[ \left( \frac{dW^-}{dz} \right)^2 \right]$$

Здесь интеграл вычисляется по любому замкнутому контуру, охватывающему вихрь и не пересекающему границу раздела сред.

Относя  $X$  и  $Y$  к скоростному напору  $\rho^-(V^-)^2 h/2$ , найдем коэффициенты сопротивления  $c_x$  и подъемной силы  $c_y$ , которые запишем в виде

$$c_x = c_{xm} + c_{xs}, \quad c_y = c_{ym} + c_{ys}$$

$$c_{xm} = \frac{\Gamma^2(1+k_1)}{4\pi} \frac{q+a}{q^2}$$

$$c_{ym} = -2\Gamma \left[ 1 + \frac{\Gamma}{8\pi} \left( 1 - k_1 - (1+k_1) \frac{1+aq}{q^2} \right) \right]$$

$$\begin{pmatrix} c_{xs} \\ c_{ys} \end{pmatrix} = \frac{\sqrt{2}\Gamma}{\pi\beta} \int_0^\infty \left( \frac{\sqrt{q-a} - (t-a)\sqrt{q+a}}{(t-a)\sqrt{q-a} + \sqrt{q+a}} \right) \frac{r(t)dt}{\sqrt{t(1+(t-a)^2)}}$$

Заметим, что функции  $c_{xm}(a)$  и  $c_{ym}(a)$  имеют экстремум в точке  $a = 1/\sqrt{3}$ . При  $a \rightarrow -\infty$   $c_x = 0$ ,  $c_y = -2\Gamma(\Gamma/(4\pi) + 1)$ . При  $a \rightarrow \infty$  приходим к формулам

$$c_x = \Gamma^2(1+k_1)\mu e^{-2\mu}$$

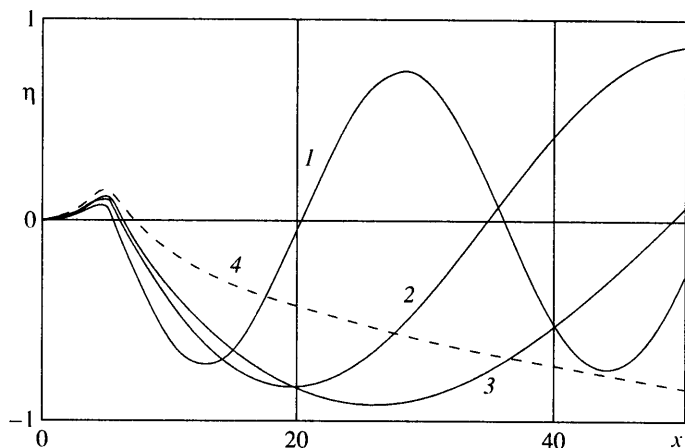
$$c_y = 2\Gamma \left( \frac{\Gamma k_1}{4\pi} - \frac{\Gamma(1+k_1)}{2\pi} \mu e^{-2\mu} \operatorname{Ei}(2\mu) - 1 \right)$$

совпадающим при  $\beta = 1$  с формулами, приведенными в [12].

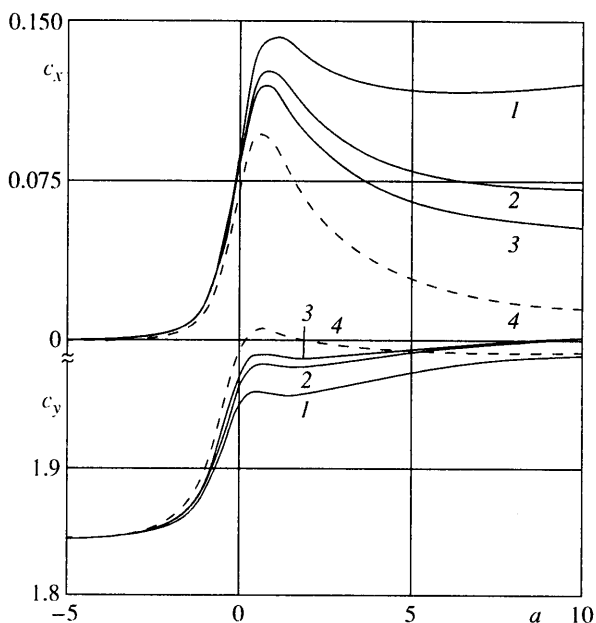
Некоторые результаты расчетов представлены ниже. Зависимость  $\eta(x)$  для  $a = 5$  показана на фиг. 2. При  $\operatorname{Fr} \neq \infty$   $\eta(x)$  асимптотически представляет собой волну, длина которой равна  $2\pi v$ . С ростом числа Фруда длина волны и амплитуда возрастают. При  $\operatorname{Fr} \rightarrow \infty$  форма границы раздела стремится при  $x \rightarrow \infty$  к параболе  $\eta(x) = c\sqrt{x}$ ,  $c = \Gamma(1+k_1)\sqrt{q+a}/(\sqrt{2}\pi q)$ .

На фиг. 3 показана зависимость  $c_x$  и  $c_y$  от положения вихря для ряда значений числа Фруда, а на фиг. 4 – зависимость  $c_x$  и  $c_y$  от числа Фруда для  $a = \infty$ . Влияние числа  $\operatorname{Fr}$  существенно сказывается в случае, когда вихрь располагается над жидкой границей раздела. При малых  $\operatorname{Fr}$ , не превышающих некоторых критических значений, коэффициент  $c_x$  с ростом  $\operatorname{Fr}$  увеличивается, а  $c_y$  уменьшается. При числах Фруда, больших критических, характер поведения  $c_x$  и  $c_y$  меняется на противоположный. Изменение положения вихря наиболее существенно сказывается в окрестности значения  $a = 0$ , а именно когда вихрь располагается над пластинкой вблизи ее кромки.

На фиг. 5 показано распределение коэффициента давления  $c_p(x) = 2(p - p_0)/(p^-(V^-)^2)$  по жидкой границе раздела сред при  $a = 5$ .



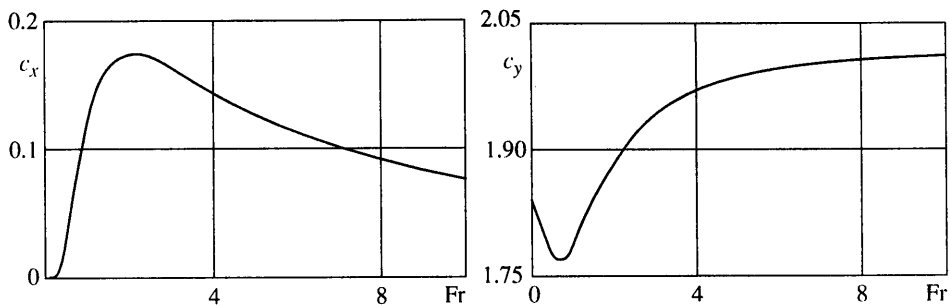
Фиг. 2. Линии раздела сред  $y = \eta(x)$  для  $a = 5$ ;  $\beta = 0.6$ ;  $\gamma = 0.32$ ;  $\Gamma = -1$  и  $Fr = 5$ ; 10; 15;  $\infty$  (кривые 1-4)



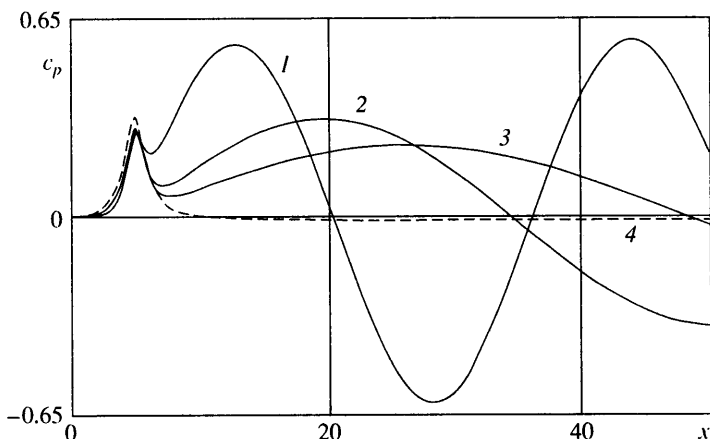
Фиг. 3. Зависимость коэффициентов  $c_x$  и  $c_y$  от положения вихря  $a$ . Линиям 1-4 соответствуют значения  $\beta = 0.6$ ;  $\gamma = 0.32$ ;  $\Gamma = -1$ ;  $Fr = 5$ ; 10; 15;  $\infty$

Аналогично решается задача, когда вихрь находится в нижней, более плотной жидкости. Приведем без вывода основные формулы. Пусть теперь  $z_0 = a - ih$ ,  $h > 0$ . Символом звездочка будем отмечать соответствующие величины для этого случая. Тогда

$$\left( \frac{dw_m^{+*}}{dz}, \frac{dw_m^{-*}}{dz} \right) = \frac{\Gamma}{4\pi i} \left( 1, \frac{k_2}{\gamma} \right) \left[ (1+k_1, 1) \left( \frac{1}{z-z_0} - \frac{1}{z-\bar{z}_0} \right) + \right. \\ \left. + (1-k_1, 1) \sqrt{z} \left( \frac{1}{(z-z_0)\sqrt{z_0}} + \frac{1}{(z-\bar{z}_0)\sqrt{\bar{z}_0}} \right) \right], \quad z \in (D^+, D^-)$$



Фиг. 4. Зависимость коэффициентов  $c_x$  и  $c_y$  от числа Фруда  $Fr$  при  $a \rightarrow \infty$  и  $\beta = 0.6$ ;  $\gamma = 0.32$ ;  $\Gamma = -1$



Фиг. 5. Распределение давления по границе раздела сред  $c_p(x)$  для  $a = 5$ ;  $\beta = 0.6$ ;  $\gamma = 0.32$ ;  $\Gamma = -1$  и  $Fr = 5; 10; 15; \infty$  (кривые 1-4)

$$(f^*(x), r^*(x), \eta^*(x)) = \frac{\beta}{\gamma} (f(x), r(x), \eta(x))$$

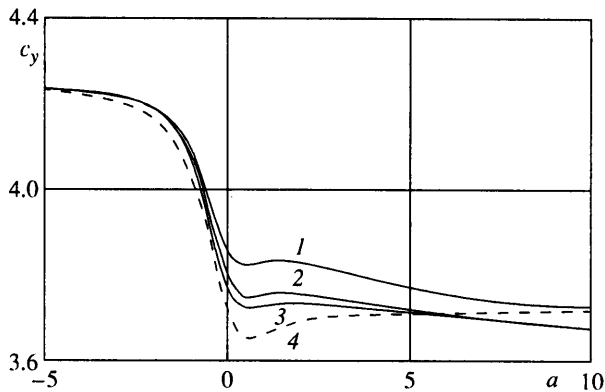
$$c_{xm}^* = \frac{1-k_1}{1+k_1} c_{xm}, \quad c_{ym}^* = -\frac{2\Gamma}{\gamma} \left[ \beta + \frac{\Gamma}{8\pi} \left( (1-k_1) \frac{1+aq}{q^2} - 1 - k_1 \right) \right]$$

$$(c_{xv}^*, c_{yv}^*) = \frac{\beta^2}{\gamma^2} (c_{xv}, -c_{yv})$$

На фиг. 6 приведена зависимость коэффициента  $c_y^*$  от положения вихря. Коэффициент подъемной силы достигает теперь наибольшего значения, когда вихрь находится под пластиной, причем величина его почти не зависит от числа  $Fr$  и при  $a < -5$  почти не зависит от  $a$ . При  $a > 0$  характер зависимости  $c_y^*$  от  $Fr$  по сравнению с предыдущим также меняется на противоположный.

**Заключение.** В линейной постановке решена задача об обтекании вихря двухслойным потоком тяжелых жидкостей с разными полными давлениями. Выявлены качественные особенности и получены количественные оценки влияния опреде-





Фиг. 6. Зависимость коэффициента  $c_y(a)$  для случая, когда вихрь находится в точке  $z_0 = a - ih$  ( $h > 0$ ) для  $\beta = 0.6$ ;  $\gamma = 0.32$ ;  $\Gamma = -1$  и  $Fr = 5$ ; 10; 15;  $\infty$  (линии 1-4)

ляющих параметров на гидродинамику течений. Коэффициенты гидродинамического сопротивления  $c_x$  и подъемной силы  $c_y$ , действующей на вихрь, существенно зависят от его расстояния до кромки пластины по горизонтали  $a$  при  $-5 < a < 15$ . При перемещении вихря в направлении потока эти коэффициенты изменяются со значительным градиентом непосредственно вблизи кромки пластины и достигают экстремальных значений вблизи точки  $a = 1/\sqrt{3}$ .

Распределение давления  $c_p(x) = 2(p - p_0)/(\rho(V^-)^2)$  по границе раздела  $L$ , так же как и сама граница раздела, представляют собой при  $x \rightarrow \infty$  волны с длиной  $2\pi\nu$ , пропорциональной числу Фруда; амплитуда давления уменьшается с увеличением  $Fr$ , амплитуда  $L$  увеличивается. Характер распределения давления по пластине  $c_p^\pm(x)$  качественно такой же, как в случае невесомых жидкостей.

Точность линейного приближения и область применимости косвенно оценивались путем сравнения решений линейной и нелинейной задач об обтекании вихря потоком невесомой жидкости вблизи свободной поверхности, частично прикрытой плоской крышкой [13]. Возможны три случая этой задачи: течение с одной критической точкой в потоке и с одной или двумя критическими точками на пластине. Наименьшей погрешность линейного приближения будет в первом случае. В статье [13] численно определена зависимость  $\Gamma^* = |\Gamma(a)|$  такая, что при  $|\Gamma| < \Gamma^*$  имеет место первый случай. Погрешность линейной теории возрастает при приближении вихря к кромке пластины и при увеличении абсолютной величины безразмерной циркуляции. Если вихрь находится в небольшой (порядка 2–3 характерных длин) окрестности точки  $z = 0$ , то наилучшее соответствие имеет место при  $|\Gamma| < 1$ . При этом погрешность в определении коэффициентов  $c_x$  и  $c_y$  не превышает 3%.

#### СПИСОК ЛИТЕРАТУРЫ

1. Степанянец Ю.А., Стурова И.В., Теодорович Э.В. Линейная теория генерации поверхностных и внутренних волн // Итоги науки и техники. Механика жидкости и газа. М.: ВИНТИ, 1987. Т. 21. С. 92–179.
2. Горлов С.И. Решение линейных задач о равномерном движении контура в многослойной тяжелой жидкости // Моделирование, вычисления, проектирование в условиях неопределенности – 2000: Тр. Междунар. науч. конф. Уфа; Уфим. авиац. ин-т, 2000. С. 161–169.
3. Горлов С.И. Генерация нелинейных волн контуром, совершающим поступательное движение под границей раздела двух жидких сред // Изв. РАН. МЖГ. 1999. № 5. С. 126–136.

4. *Friedrichs K.O., Lewy H.* The dock problem // *Communs Pure Appl. Math.* 1948. V. 1. № 2. P. 135–148.
5. *Сретенский Л.Н.* Теория волновых движений жидкости. М.: Наука, 1977. 815 с.
6. *Ackerberg R.C.* On a non-linear theory of thin jets. Pt 2. A linear theory for small injection angles // *J. Fluid Mech.* 1968. V. 33. Pt 2. P. 261–272.
7. *Котляр Л.М.* Истечение тяжелой жидкости из-под щита // Труды семинара по краевым задачам. Казань: Изд-во Казан. ун-та, 1969. Вып. 6. С. 88–93.
8. *Котляр Л.М.* Истечение тяжелой идеальной жидкости из-под щита // Труды семинара по краевым задачам. Казань: Изд-во Казан. ун-та, 1970. Вып. 7. С. 160–167.
9. *Котляр Л.М., Кузнецов А.В.* О неустановившемся истечении идеальной жидкости из-под прямолинейного щита // Труды семинара по краевым задачам. Казань: Изд-во Казан. ун-та, 1973. Вып. 10. С. 67–72.
10. *Гогши Л.В., Степанов Г.Ю.* Отрывные и кавитационные течения. М.: Наука, 1990. 382 с.
11. *Noble B.* Methods based on the Wiener–Hopf Technique for the Solution of Partial Differential Equations. L. etc.: Pergamon Press, 1958; Нобл Б. Применение метода Винера–Хопфа для решения дифференциальных уравнений в частных производных. М.: Изд-во иностр. лит., 1962. 279 с.
12. *Войткунский Я.И.* Обтекание гидродинамических особенностей, расположенных над поверхностью раздела жидкостей различной плотности // *Инж. журн.* 1963. Т. 3. Вып. 2. С. 262–270.
13. *Сержантова Н.В.* Нелинейная задача о вихре вблизи свободной поверхности, частично прикрытой плоской стенкой Казань: Казан. ун-т, 1999. 13 с. Деп. в ВИНТИ 09.03.99, № 691-В99.

Казань  
E-mail: Arkadii.Kuznetsov@ksu.ru

Поступила в редакцию  
24.V.2000